

# Um modelo híbrido para evolução espectral da densidade de energia no período da manhã

Charles R. P. Szinvelski, Lidiane Buligon,  
Gervásio A. Degrazia, Antonio G. O. Goulart

PPGFis/CCNE/UFMS/CRS/INPE/Santa Maria, RS  
e-mail: charless@mail.ufsm.br

## 1. Introdução

Neste trabalho, apresenta-se um modelo híbrido para a evolução espectral da densidade de energia (HINZE, 1975) no período da manhã. O modelo emprega uma configuração mista dos parâmetros de transferência de energia inercial  $W$ . O primeiro,  $W_b$  (GOULART *et al*, 2007), considera um regime anisotrópico atuante para baixos números de onda e o segundo,  $W_a$  (PAO, 1965), para o restante da região. Considera-se um termo de fonte de energia ( $H \equiv F$ ) relacionado a atuação do parâmetro de fluxo de calor na superfície.

## 2. O modelo e solução

No domínio  $D := \{(1, k_i) \times [0, 40]\}$  é válida a EDP:

$$\left\{ \begin{array}{l} \frac{\partial E(k', t_*)}{\partial t_*} + \left( c_2 \psi_\varepsilon^{2/3} k'^{1/3} \right) \frac{\partial E(k', t_*)}{\partial k'} + \left( c_2 \psi_\varepsilon^{2/3} k'^{-2/3} + \frac{2}{\text{Re}} k'^{1/3} \right) E(k', t_*) = \\ = \left( \frac{w_* z_i}{(\overline{w\theta})_0} \frac{\partial \theta}{\partial z} c_1 \psi_\varepsilon^{-1/3} \right) k'^{-2/3} E_{0-Krist}(k') \text{sen} \left( \frac{z_i \Omega}{w_*} t_* \right); E(k', t_* = 0) = 0, \end{array} \right. \quad (1)$$

via Método das Características transforma-se na EDO

$$\left\{ \begin{array}{l} \frac{dV(s,r)}{dr} + \left( \frac{c_2 \psi_\varepsilon^{2/3}}{3} \left( s^{2/3} + \frac{2c_2 \psi_\varepsilon^{2/3}}{3} r \right)^{-1} \right. \\ \left. + \frac{2}{\text{Re } c_2 \psi_\varepsilon^{2/3}} \left( s^{2/3} + \frac{2c_2 \psi_\varepsilon^{2/3}}{3} r \right)^3 \right) V(s,r) = \\ = \frac{\left( \frac{w_* z_i}{(w\theta)_0} \frac{\partial \theta}{\partial z} c_1 \psi_\varepsilon^{-1/3} \right)}{c_2 \psi_\varepsilon^{2/3}} \left( s^{2/3} + \frac{2c_2 \psi_\varepsilon^{2/3}}{3} r \right)^{-1} F(k') \text{sen} \left( \frac{z_i \Omega}{w_*} t_* \right); \\ V(r=0) = 0, \end{array} \right. \quad (2)$$

Utiliza-se a solução do modelo anisotrópico (Resolvido por Runge-Kutta de 4ª ordem) como *c.i.* para a EDO que modela a atuação de  $W_a$  na região  $(k'_i, \infty)$  e  $t_*$ , ( $t_* \in [0;40]$ ), fixo:

$$\left\{ \begin{array}{l} \frac{\partial E(k', t_*)}{\partial k'} + \left( \frac{5}{3} k'^{-1} + \frac{C}{A} k'^{1/3} \right) E(k', t_*) = \frac{D}{A} k'^{-7/3} F(k') \text{sen} \left( \frac{z_i \Omega}{w_*} t_* \right) \\ E(k'_i) = E_{w_b}(k'_i), \end{array} \right. \quad (3)$$

sendo que  $k' = kz_i$ ;  $t_* = \frac{w_* t}{z_i}$ ;  $A = \alpha^{-1} \psi_\varepsilon^{1/3}$ ;  $B = \frac{5}{3} A$ ;  $C = \frac{2}{\text{Re}}$  e

$$D = \frac{w_* z_i}{(w\theta)_0} \frac{\partial \theta}{\partial z} c_1 \psi_\varepsilon^{-1/3}.$$

Os valores para os parâmetros podem ser encontrados nos trabalhos de Goulart *et al.*, 2007 e Degrazia *et al.*, 2000. A função  $F(k')$  representa o espectro tridimensional da densidade de energia e é obtido em Kristensen *et al.*, 1989.

A integral resultante da Equação (3) é resolvida numericamente pelo Método de Integração de Romberg (BURDEN; FAIRES, 2003).

### 3. Resultados

Os resultados são apresentados na Figura 1 e forneceram as características esperadas e parametrizadas para a evolução espectral da densidade de energia, uma vez que para baixos números de onda verifica-se uma inserção efetiva de energia líquida na CLC possibilitando o crescimento desta, e ao tomar números de ondas maiores a curva de densidade de energia reproduz o comportamento padrão da lei de potências  $k^{-5/3}$ .

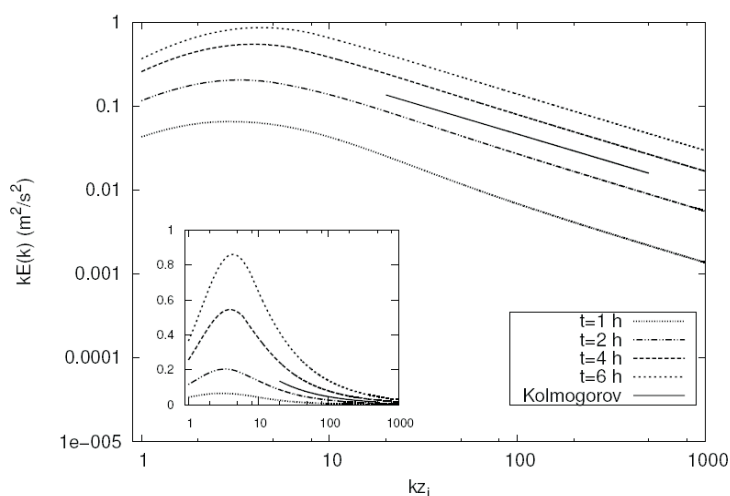


Figura 1. Espectro de densidade de energia tridimensional calculado a partir da solução da

Modelo Híbrido proposto para  $\frac{z}{z_i} = 0,5$ .

### 4. Conclusão

Os resultados obtidos, neste estudo foram satisfatórios, uma vez que os espectros modelaram a evolução da CLC. O crescimento do espectro de energia modelado se deu pela inserção de energia na região de baixos números de onda, região em que o termo de transferência de energia não consegue transferir a energia inserida pelo termo de fonte. Observa em domínios de número de onda mais alto uma estabilização da variação do parâmetro temporal sobre o domínio  $(k'_i, \infty) \times [0, t_*]$ , com o valor  $k'_i = 5$  adotado, indicando que a variação do número de onda governará a evolução do espectro de energia.

**Agradecimento:** Trabalho parcialmente financiado pela CAPES.

## 5. Referências bibliográficas

BURDEN, R.L., e FAIRES, J.D. *Análise Numérica*. São Paulo: Thomson, pp. , 2003.

DEGRAZIA, G.A. *et al.* Turbulence parameterisation for PBL dispersion models in all stability conditions. *Atmospheric Environment*, v. 34, p. 3575-3583, 2000.

GOULART, A.G. *et al.* A New Model for the CBL Growth Based on the Turbulent Kinetic Energy Equation. *Environmental Fluid Mechanics*, v. 7, p. 409-419, 2007.

HINZE, J.O. *Turbulence*. Mc Graw Hill, pp. 790, 1975.

IÓRIO, V. M. *EDP. Um Curso de Graduação*. Rio de Janeiro: IMPA, Ed. 2<sup>a</sup>, pp. 300, 2001.

KRISTENSEN, L. *et al.* The spectral velocity tensor for homogeneous boundary-layer turbulence. *Boundary-Layer Meteorology*, v. 47, p. 149-193, 1989.

PAO, Y.H. Structure of Turbulent Velocity and Scalar Fields at Large Wavenumbers. *Physics of Fluids*, v. 8, 1063-1075, 1965.